

УДК 621.317.361

**В. Т. Ковальчук, пошукувач,
П. М. Повідайко, к.т.н., доц.**
Житомирський інженерно-технологічний інститут

МЕТОДИЧНА ПОХИБКА АМПЛІТУДНОГО МЕТОДУ ВИЗНАЧЕННЯ КУТОВИХ ПАРАМЕТРІВ РАДІОХВІЛЬ НЕВЕРТИКАЛЬНОЇ ПОЛЯРИЗАЦІЇ

Виконаний розрахунок методичної похибки визначення пеленга і кута падіння радіохвиль невертикальної поляризації для амплітудного методу визначення кутових параметрів.

В попередніх роботах авторів наведені окремі результати оцінки методичної похибки визначення пеленга і методичної похибки визначення кута падіння радіохвиль невертикальної поляризації [1, 2].

Мета даної роботи – розробка узагальненого підходу до оцінки методичної похибки визначення пеленга і кута падіння радіохвиль невертикальної поляризації при застосуванні амплітудного методу визначення їх кутових параметрів.

Прийняті пеленгатором радіохвилі можуть мати або лінійну (в тому числі вертикальну і горизонтальну), або еліптичну (в тому числі кругову) поляризацію. До лінійно-поляризованих радіохвиль належать ті, у яких різниця між фазами вертикальної і горизонтальної складових дорівнює 0° (або 180°), а до еліптично поляризованих – всі інші. При цьому, під вертикально-поляризованими розуміються хвилі, горизонтальна складова електричної напруженості в яких або відсутня, або мізерно мала у порівнянні з вертикальною складовою, а під горизонтально-поляризованими – протилежні. У радіохвиль з круговою поляризацією вертикальна і горизонтальна складові однакові, а різниця між їхніми фазами дорівнює 90° (або 270°).

Задача розглядається для амплітудного методу пеленгування, що реалізується радіопеленгатором, антenna система якого складається із сполучених в одному фазовому центрі двох направлених вертикальних взаємно перпендикулярних магнітних диполів (рамок) і одного неправленого вертикального електричного диполя (штиря) [3]. Орієнтація направленої першої рамки “Північ – Південь”, другої – “Схід – Захід”. Геометричні розміри диполів d у порівнянні з довжиною радіохвиль λ такі, що $\pi d \leq \lambda$.

На виходах вищевказаних рамок і штиря під дією вертикально-поляризованих радіохвиль від джерела радіовипромінювання (ДРВ), що пеленгується, виникають сигнали, які описуються системою рівнянь:

$$\begin{aligned} U_{pIII}\{\omega t\} &= K_p E_e \cos \alpha \cdot \sin(\omega t + \varphi_e) \\ U_{pC3}\{\omega t\} &= K_p E_e \sin \alpha \cdot \sin(\omega t + \varphi_e) \\ U_{III}\{\omega t\} &= K_{III} E_e \cos \beta \cdot \cos(\omega t + \varphi_e), \end{aligned} \quad (1)$$

де $U_{pIII}\{\omega t\}, U_{pC3}\{\omega t\}$ – поточні значення сигналів з круговою частотою ω в момент часу t на виходах вертикальних рамок “Північ – Південь” та “Схід – Захід” відповідно;

$U_{III}\{\omega t\}$ – поточні значення сигналів з круговою частотою ω в момент часу t на виході вертикального штиря;

K_p, K_{III} – коефіцієнти передачі сигналів, що приймаються рамками і штирем;

E_e, φ_e – відповідно амплітудне значення і початкова фаза напруженості електричного поля радіохвилі, що приймається;

α, β – кути приходу радіохвилі в горизонтальній і вертикальній площині відповідно.

Розв'язок системи (1) відносно α і β дає результат:

$$\alpha = \arctg \left(\frac{A_{pC3} \operatorname{sign}(\varphi_{pC3} - \varphi_{III})}{A_{pIII} \operatorname{sign}(\varphi_{pIII} - \varphi_{III})} \right); \quad (2)$$

$$\beta = \arccos \left| \left(A_{III} (K_p / K_{III}) \right) / \left((A_{pIII})^2 + (A_{pC3})^2 \right)^{1/2} \right|, \quad (3)$$

де $A_{p\text{ПП}}$, $A_{p\text{СЗ}}$ – амплітудні значення сигналів на виходах направлених вертикальних рамок “Північ – Південь” та “Схід – Захід” відповідно;

A_{μ} – амплітудне значення сигналу на виході вертикального штиря,

$(\varphi_{p\text{ПП}} - \varphi_{\mu})$ і $(\varphi_{p\text{СЗ}} - \varphi_{\mu})$ – різниці фаз сигналів на виході вертикального штиря і на виходах вертикальних рамок “Північ – Південь” та “Схід – Захід” відповідно;

$\text{sign}(U)$ – функція знаку розміру U , причому $\text{sign}(U) = +1$, якщо $U > 0$; $\text{sign}(U) = -1$, якщо $U < 0$ і $\text{sign}(U) = 0$, якщо $U = 0$.

Під дією невертикально поляризованих радіохвиль від ДРВ, що пеленгуються, на виходах вищевказаніх рамок і штиря виникають сигнали, які описуються такою системою рівнянь:

$$\begin{aligned} U_{p\text{ПП}}\{\omega t\} &= K_p(E_a \cos \alpha \cdot \sin(\omega t + \varphi_a) + E_e \sin \beta \cdot \sin \alpha \cdot \sin(\omega t + \varphi_e)) \\ U_{p\text{СЗ}}\{\omega t\} &= K_p(E_a \sin \alpha \cdot \sin(\omega t + \varphi_a) + E_e \sin \beta \cdot \sin \alpha \cdot \sin(\omega t + \varphi_e)) \\ U_{\mu}\{\omega t\} &= K_{\mu}E_e \cos \beta \cdot \cos(\omega t + \varphi_e), \end{aligned} \quad (4)$$

де E_a , φ_a – відповідно амплітудне значення і початкова фаза електричної напруженості вертикальної складової прийнятих радіохвиль;

E_e , φ_e – амплітудне значення і початкова фаза електричної напруженості горизонтальної складової прийнятих радіохвиль.

З урахуванням (4) можна визначити методичну похибку визначення пеленга в створювих напрямках ($\alpha = 0^\circ, 90^\circ, 180^\circ, 270^\circ$) і кута місця радіохвиль невертикальної поляризації:

$$\Delta_{\alpha} = \arctg(\operatorname{tg} Y_E \cdot \sin \beta) \cdot \text{sign}(\cos \Psi); \quad (5)$$

$$\Delta_{\beta} = \arctg(\operatorname{tg} Y_E / \cos \beta) - \beta, \quad (6)$$

де $Y_E = \arctg\left(\frac{E_e}{E_a}\right)$;

$$\Psi = \varphi_e - \varphi_a.$$

При цьому, для кожного значення Y_E існує своє екстремальне значення $\beta_{\text{екстр}}$, при якому значення похибки Δ_{β} стає максимальним $\Delta_{\beta_{\max}}$. Величини $\beta_{\text{екстр}}$ і $\Delta_{\beta_{\max}}$ визначаються такими виразами відповідно:

$$\beta_{\text{екстр}} = (\pi/2) - \arctg(\sec(Y_E))^{1/2}, \quad (7)$$

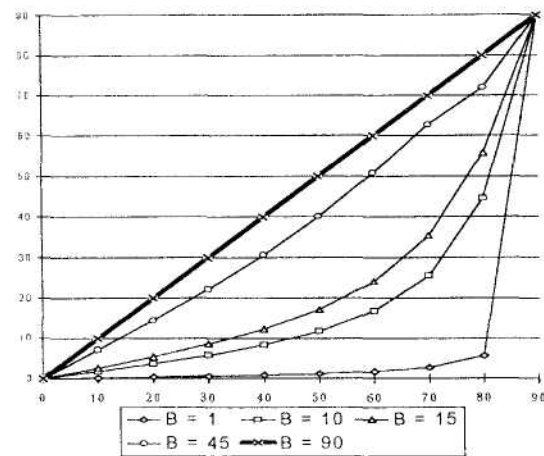
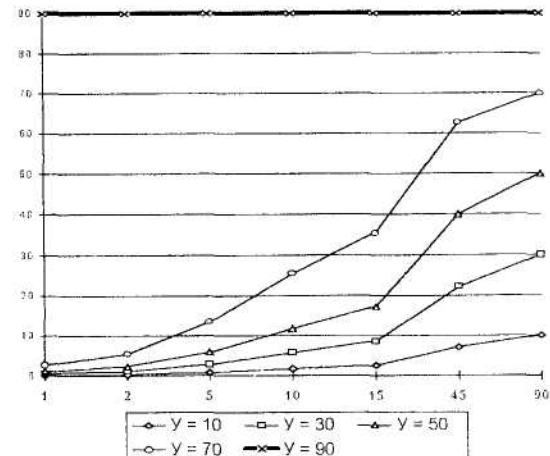
$$\Delta_{\beta_{\max}} = 2 \arctg(\sec(Y_E))^{1/2} - (\pi/2) \quad (8)$$

Результати розрахунку методичної похибки згідно з виразами (5) і (6) зведені в табл. 1, табл. 2 і відображені на рис. 1 – рис. 5.

Таблиця 1

Результати розрахунку методичної похибки пеленгування

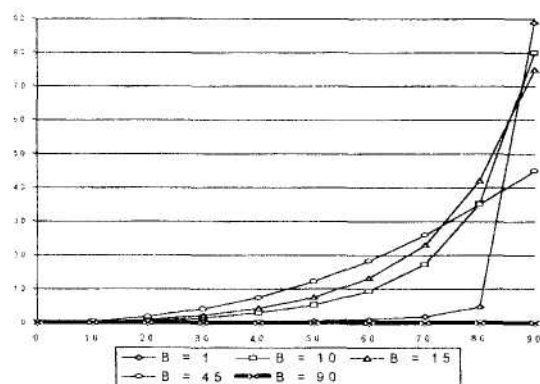
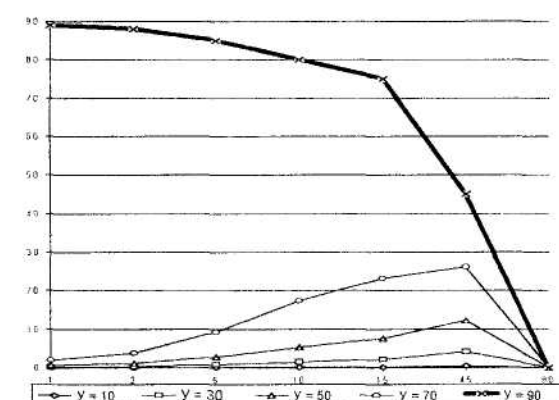
| Y_E | Δ_{α} при $\text{sign}(\cos \Psi) = 1$ | | | | | | |
|------------------|--|-------------------|-------------------|--------------------|--------------------|--------------------|--------------------|
| | $\beta = 1^\circ$ | $\beta = 2^\circ$ | $\beta = 5^\circ$ | $\beta = 10^\circ$ | $\beta = 15^\circ$ | $\beta = 45^\circ$ | $\beta = 90^\circ$ |
| 0 ($E_e = 0$) | 0 | 0 | 0 | 0 | 0 | 0 | 0 |
| 10 | 0,18 | 0,35 | 0,88 | 1,75 | 2,61 | 7,11 | 10 |
| 20 | 0,36 | 0,73 | 1,82 | 3,62 | 5,38 | 14,43 | 20 |
| 30 | 0,58 | 1,15 | 2,88 | 5,73 | 8,5 | 22,21 | 30 |
| 40 | 0,84 | 1,68 | 4,18 | 8,29 | 12,25 | 30,68 | 40 |
| 50 | 1,19 | 2,38 | 5,93 | 11,69 | 17,14 | 40,12 | 50 |
| 60 | 1,73 | 3,46 | 8,58 | 16,74 | 24,15 | 50,77 | 60 |
| 70 | 2,75 | 5,48 | 13,47 | 25,51 | 35,42 | 62,76 | 70 |
| 80 | 5,65 | 11,2 | 26,3 | 44,56 | 55,73 | 72 | 80 |
| 90 ($E_e = 0$) | 90 | 90 | 90 | 90 | 90 | 90 | 90 |

$\Delta_\alpha, \text{град}$ Рис. 1. Графік залежності методичної похибки пеленгування від значення Y_E $\Delta_\alpha, \text{град}$ Рис. 2. Графік залежності методичної похибки пеленгування від значення β для різних Y_E

Таблиця 2

Результати розрахунку методичної похибки оцінки кута місця

| Y_E | Δ_β | | | | | | | $\beta = \beta_{\text{експ}}$ | $\Delta_{\beta \text{ max}}$ |
|----------------|-------------------|-------------------|-------------------|--------------------|--------------------|--------------------|--------------------|-------------------------------|------------------------------|
| | $\beta = 1^\circ$ | $\beta = 2^\circ$ | $\beta = 5^\circ$ | $\beta = 10^\circ$ | $\beta = 15^\circ$ | $\beta = 45^\circ$ | $\beta = 90^\circ$ | | |
| 0 ($E_B=0$) | 0,0 | 0,0 | 0,0 | 0,0 | 0,0 | 0,0 | 0,0 | 45,00 | 0,0 |
| 10 | 0,0 | 0,0 | 0,1 | 0,2 | 0,2 | 0,4 | 0,0 | 44,78 | 0,4 |
| 20 | 0,1 | 0,1 | 0,3 | 0,6 | 0,9 | 1,8 | 0,0 | 44,11 | 1,8 |
| 30 | 0,2 | 0,3 | 0,8 | 1,5 | 2,2 | 4,1 | 0,0 | 42,94 | 4,1 |
| 40 | 0,3 | 0,6 | 1,5 | 3,0 | 4,3 | 7,5 | 0,0 | 41,19 | 7,6 |
| 50 | 0,6 | 1,1 | 2,8 | 5,3 | 7,6 | 12,3 | 0,0 | 38,72 | 12,6 |
| 60 | 1,0 | 2,0 | 4,9 | 9,4 | 13,2 | 18,4 | 0,0 | 35,26 | 19,5 |
| 70 | 1,9 | 3,8 | 9,3 | 17,3 | 23,1 | 26,1 | 0,0 | 30,32 | 29,4 |
| 80 | 4,7 | 9,4 | 21,7 | 35,4 | 42,1 | 35,1 | 0,0 | 22,62 | 44,8 |
| 90 ($E_B=0$) | 89,0 | 88,0 | 85,0 | 80,00 | 75,0 | 45,0 | 0,0 | 0,00 | 90,0 |

 $\Delta_\beta, \text{град}$ Рис. 3. Графік залежності методичної похибки кута місця від значення Y_E $\Delta_\beta, \text{град}$ Рис. 4. Графік залежності методичної похибки оцінки кута місця від значення β

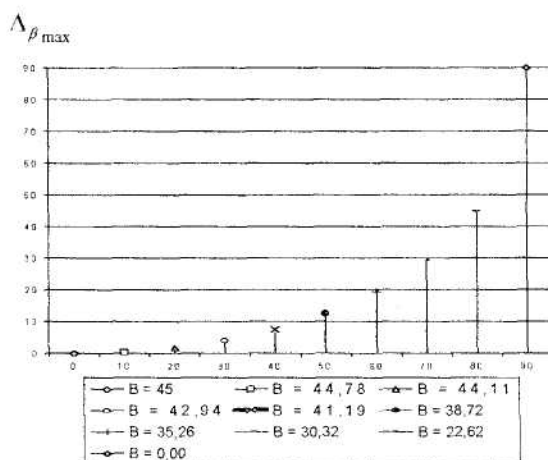


Рис. 5. Графік залежності максимальної методичної похибки оцінки кута місця від значення Y_E при $\beta = \beta_{\text{екстр}}$

Отримані результати можуть бути використані для оцінки можливості застосування різних схем пеленгаторів, які реалізують амплітудний метод визначення кутових параметрів радіохвиль невертикальної поляризації.

ЛІТЕРАТУРА:

1. Ковал'чук В.Т., Повідайко П.М. Методична похибка амплітудного методу пеленгування радіохвиль невертикальної поляризації // Вісник ЖІТІ. – 2000. – № 15 / Технічні науки. – С. 138–140.
2. Ковал'чук В.Т., Повідайко П.М. Методична похибка виміру кута падіння радіохвиль невертикальної поляризації амплітудними радіопеленгаторами // Збірник наукових праць VIII науково-технічної конференції "Вимірювальна та обчислювальна техніка в технологічних процесах". – Хмельницький: ТУП, 2001. – С. 92–98.
3. Ковал'чук В.Т., Повідайко П.М. Вибірне пеленгування поверхневих і просторових радіохвиль з вертикальною та горизонтальною поляризаціями за їх поточними значеннями на основі фазової селекції // Вісник ЖІТІ. – 2000. – № 13 / Технічні науки. – С. 159–161.

КОВАЛЬЧУК Валерій Тадеушович – попукувач кафедри АУТС Житомирського інженерно-технологічного інституту.

Наукові інтереси:

– дослідження в галузі цифрової обробки сигналів.

ПОВІДАЙКО Петро Михайлович – кандидат технічних наук, професор кафедри АУТС, декан факультету інформаційно-комп’ютерних технологій Житомирського інженерно-технологічного інституту.

Наукові інтереси:

– дослідження в галузі цифрової обробки сигналів.